

## بررسی عددی مشخصات هیدرولیکی جریان اطراف سرریز لبه‌تیز قائم و مورب با شبیه‌سازی در نرم‌افزار FLOW3D

سعید فرزین\*

استادیار، دانشکده مهندسی

عمران، دانشگاه سمنان.

پست الکترونیک:

Saeed.farzin@semnan.ac.ir

**حجت کرمی**

استادیار، دانشکده مهندسی

عمران، دانشگاه سمنان.

پست الکترونیک:

Hkarami@semnan.ac.ir

**فرزاد یحیوی کلاکی**

دانشجوی کارشناسی ارشد،

دانشکده مهندسی عمران،

دانشگاه سمنان.

پست الکترونیک:

Farzady70@gmail.com

**شهاب نیر**

دانشجوی کارشناسی ارشد،

دانشکده مهندسی عمران،

دانشگاه سمنان.

پست الکترونیک:

Sh.nayyer@semnan.ac.ir

سرریزها یکی از سازه‌های مهم در رودخانه و از رایج‌ترین وسایل اندازه‌گیری شدت جریان در مجاری روباز هستند. از انواع این سازه‌ها، سرریزهای لبه‌تیز هستند که براساس شکل تاج به مثلثی، مستطیلی، دایروی، ذوزنقه‌ای و سهموی تقسیم‌بندی می‌شوند. در این پژوهش، مشخصه‌هایی جریان در اطراف سرریز لبه‌تیز با استفاده از نرم‌افزار FLOW3D شبیه‌سازی گردید. مشخصه‌هایی نظیر ارتفاع، عدد فرود و رینولدز در این سرریزها با سه زاویه مختلف،  $50^\circ$ ،  $70^\circ$  و  $90^\circ$  درجه نسبت به افق با ضریب تخلیه سرریز مستطیلی مورد تحلیل قرار گرفت. نتایج نشان داد که بهترین مدل آشفتگی برای شبیه‌سازی، مدل  $k-E$  با ضریب همبستگی  $0.96$  می‌باشد. مشخص شد که عدد فرود کمتر از  $1$  و رینولدز بیش از  $2000$  می‌باشد و سرریز با زاویه  $50^\circ$  درجه بیشترین مقدار آبگذری با ضریب آبگذری  $0.747$  را دارا می‌باشد. همچنین تأثیرات زاویه بر آبستگی اطراف سرریز با توجه به فشار و سرعت جریان مطالعه شد و رابطه‌ای برای دبی آبگذری سرریز پیشنهاد گردید.

**واژگان کلیدی:** سرریز لبه‌تیز، مشخصات هیدرولیکی، شبیه‌سازی عددی، مدل آشفتگی  $k-E$ ،  
FLOW3D مدل

کانال‌های انتقال آب، سرریزها می‌باشند که به‌منظور تخلیه، اندازه‌گیری و کنترل سطح آب مورد استفاده قرار می‌گیرند. از آنجاکه حجم جریان عبوری از سرریز، تابع طول و شکل تاج سرریز می‌باشد؛ لذا تاکنون تحقیقاتی درخصوص تأثیر پارامترهای هیدرولیکی و هندسی بر ضریب تخلیه جریان و مقدار دبی عبوری از روی سرریزها انجام شده است. دلایل زیادی از جمله انحنای خطوط جریان روی سرریز، عدم توزیع هیدرواستاتیک فشار، تماس آب با جداره سرریز، موجب تفاوت شدت جریان محاسبه شده و اندازه‌گیری شده از روی سرریز می‌گردد.

**۱- مقدمه**

مدیریت و انتقال آب یکی از مباحث مهم در طول توسعه تمدن بشر می‌باشد. برای پاسخگویی به نیازها، سازه‌های هیدرولیکی متنوعی طراحی و ساخته شده است. یکی از سازه‌های متداول در بسیاری از سدها و

\* نویسنده مسئول

تاریخ: دریافت ۱۰/۰۹/۱۳۹۵، بازنگری ۰۲/۰۶/۱۳۹۶، پذیرش ۰۱/۲۵/۱۳۹۶.

DOI: 10.22091/cer.2017.1661.1068

کاهش عدد فرود، سرعت جانبی و نهایتاً دبی عبوری از سرریز افزایش می‌باید [۱]. حیدرپور و همکاران، با مطالعه جریان همزمان از یک دریچه کشویی و روی یک سرریز لبه‌تیز ذوزنقه‌ای به این نتیجه رسیدند که با افزایش مقدار  $C_d$  مقدار  $H/d$  نیز افزایش می‌باید [۲]. حقشناس و وطن‌خواه، با مطالعه‌ای تحت عنوان «مقایسه روش‌های مختلف تخمین بده سرریز جانبی لبه‌تیز نیم‌دایره‌ای در رژیم جریان زیربحاری» و با انجام ۱۶۲ آزمایش به این نتیجه رسیدند که با توجه به متغیر بودن ارتفاع لبه سرریز و گسترش عرض فوقانی در سرریز جانبی دایره‌ای، این سرریز توانایی کنترل بهتر سیلان را نسبت به سرریز جانبی مستطیلی دارد [۳]. عامری و همکاران، در آزمایشگاه دانشگاه شاهروд بر روی تعیین ضریب دبی سرریزهای جانبی لبه‌تیز مرکب مثلثی-مستطیلی در ۲۶ مقطع، آزمایش‌هایی انجام دادند و بر پایه تحلیل ابعادی، روابطی ساده و با دقت مناسب جهت محاسبه ضریب دبی در سرریز جانبی لبه‌تیز مرکب با زوایای رأس ۶۰ و ۹۰ درجه ارائه کردند [۴]. مانگارولکار<sup>۱</sup> با استفاده از مدل آشفتگی، شبیه‌سازی عددی الگوی جریان و مشخصات جریان در اطراف سرریز جانبی با ارتفاع تاج صفر در کanal اصلی را بررسی کرده است. او همچنین در این مطالعه به بررسی محل تشکیل نقطه سکون به دست آمده از شبیه‌سازی عددی و مقایسه با نتایج تحلیلی پرداخته است [۵]. رضایی و آفاجانی مازندرانی، سرریزهای کنگره‌ای را با سرریزهای مستقیم مقایسه کردند. نتایج نشان داد تغییرات ارتفاع آب بالادرست نسبت به دبی در سرریزهای کنگره‌ای در مقایسه با سرریزهای مستقیم، با توجه به طول زیادشان، کمتر است و به ارتفاع آزاد کمتری در بالادرست نیاز دارند. بنابراین استفاده از آنها در شبکه‌های آبیاری مناسب‌تر می‌باشد [۶]. داراواس<sup>۲</sup>، با استفاده از نتایج آزمایشگاهی حاصل از مدل فیزیکی سرریزهای

اندازه‌گیری دبی جریان در کanal‌های آزمایشگاهی، سدهای مخزنی و شبکه‌های آبیاری دارای اهمیت زیادی است. به‌ایمنظور، از سازه‌های مختلفی مانند دریچه، پارشال فلوم و سرریز استفاده می‌شود. سرریزها از مهم‌ترین سازه‌های اندازه‌گیری و تنظیم دبی جریان بوده و کاربرد گسترده‌ای در اندازه‌گیری آزمایشگاهی و صحرایی دبی جریان دارند. این سازه‌ها به دو صورت لبه‌تیز و لبه‌پهن می‌باشند. در پشت سرریزهای لبه‌تیز بیش از سرریزهای لبه‌پهن، رسوب‌گذاری وجود دارد. سرریزها با توجه به نسبت  $h/l$  تقسیم‌بندی می‌شوند. برای سرریز لبه‌پهن با تاج طولانی ( $h/l < 0.1/1$ )، سرریز لبه‌پهن حقیقی ( $0.1 \leq h/l \leq 0.35$ )، در سرریز لبه‌پهن با تاج کوتاه ( $0.35 \leq h/l \leq 1/5$ ) و نهایتاً برای سرریز لبه‌تیز ( $h/l > 1/5$ ) است که در آن  $h$  بار آب پشت سرریز و  $l$  طول سرریز می‌باشد.

در سرریزهای لبه‌تیز، عمق بحرانی، قبل از سرریز اتفاق می‌افتد و محل آن مشخص نیست. به همین دلیل نمی‌توان مانند سرریزهای لبه‌پهن از رابطه انرژی برای به دست آوردن دبی استفاده کرد. سرریزهای لبه‌تیز براساس شکل تاج به مثلثی، مستطیلی، دایروی، ذوزنقه‌ای و سه‌موی تقسیم‌بندی می‌شوند. تاکنون مطالعاتی در زمینه هیدرولیک جریان در این سرریزها انجام شده و برای افزایش کارایی سرریزهای ساده، راه حل‌های مختلفی پیشنهاد شده است. از ترکیب یک سرریز لبه‌تیز مستطیلی و یک دریچه کشویی (سیستم سرریز- دریچه) برای جلوگیری از رسوب‌گذاری در جلوی سرریز و نیز عبور آسان اجسام شناور استفاده می‌شود. این سیستم برای تخلیه سیلان، کارایی بهتری نسبت به کاربرد مجرای سرریز یا دریچه دارد. جهت بررسی این سازه‌ها و سرریزها روش‌های آزمایشگاهی و عددی وجود دارد که به دلیل محدودیت از روش‌های عددی استفاده زیادی می‌شود. غفاری و همکاران اثر عدد فرود بالادرست بر الگو و مشخصات جریان در امتداد سرریز جانبی لبه‌تیز مستطیلی را بررسی کردند. نتایج آنان نشان داد که با

<sup>۱</sup>- Mangarulkar

<sup>۲</sup>- Darvas

## ۲- مواد و روش‌ها

### ۲-۱- مدل آزمایشگاهی

مدل آزمایشگاهی مورد استفاده، فلومی با دیواره شیشه‌ای و به طول  $10\text{ m}$ ، عرض  $0.25\text{ m}$  و عمق  $0.5\text{ m}$  متر می‌باشد که سریز در آن با استفاده از صفحات پی‌وی‌سی<sup>۸</sup> و در سه زاویه، مدل‌سازی شده است [۱۲].

### ۲-۲- معادلات حاکم

نرم‌افزار FLOW3D یک مدل مناسب برای حل مسائل پیچیده دینامیک سیالات می‌باشد که قادر است دامنه وسیعی از جریان سیالات را مدل کند. این نرم‌افزار برای مدل کردن جریان‌های سطح آزاد سه‌بعدی غیرماندگار با هندسه پیچیده کاربرد فراوانی دارد. روش‌های حجم سیال (VOF<sup>۹</sup>) و کسر مساحت- حجم مانع (FAVOR<sup>۱۰</sup>) مثال‌هایی از روش‌های جزء حجمی هستند که در مدل FLOW3D به کار می‌روند. هنگامی که جریان دارای سطح آزاد است از روش VOF استفاده می‌شود. روش FAVOR یکی از روش‌های جزء حجمی است که برای شبیه‌سازی سطوح و احجام صلب مثل مرزهای هندسی، مورد استفاده قرار می‌گیرد. به‌طور کلی، معادله پیوستگی جرم به‌صورت معادله (۱) بیان می‌شود:

$$\begin{aligned} V_f \frac{\partial \rho}{\partial t} + \frac{\partial}{\partial x} (\rho u A_x) + R \frac{\partial}{\partial y} (\rho v A_y) \\ + \frac{\partial}{\partial z} (\rho w A_z) + \zeta \frac{\rho u A_x}{x} = R_{DIF} + R_{SOR} \end{aligned} \quad (1)$$

که در آن،  $V_f$  کسر حجمی جریان،  $\rho$  دانسیته سیال،  $R_{DIF}$  عبارت پخش آشفتگی و  $R_{SOR}$  منبع جرم می‌باشند. مقدار ضریب  $R$  بستگی به نوع سیستم مختصات دارد. ( $u, v, w$ )

<sup>8</sup>- PVC

<sup>9</sup>- Volume of Fluid

<sup>10</sup>- Fractional Area-Volume Obstacle Representation

سدهای ورونوا<sup>۳</sup> و آون<sup>۴</sup> در استرالیا، مجموعه‌ای از منحنی‌ها را برای طراحی سرریزهای زیگزاگی ارائه نمود [۷]. لакс<sup>۵</sup>، با انجام آزمایش‌هایی بر روی مدل فیزیکی سرریز کنگره‌ای، ضریب دبی عبوری از این سرریزها را به صورت تابعی از هد کل بالادست معرفی نمود [۸]. اسماعیلی و رضوی‌زاده، با بررسی آزمایشگاهی سرریزهای جانبی با تراز تاج متغیر، ضریب دبی اینگونه سرریزها را مورد مطالعه قرار داده و افزایش راندمان آنها را نسبت به سرریزهای با تراز تاج ثابت نشان دادند [۹]. کشاورز و همکاران و اکبری و قدسیان، به ترتیب ضریب آبگذری سرریزهای جانبی لبه‌تیز ذوزنقه‌ای و مثلثی را مورد بررسی قرار دادند [۱۰ و ۱۱].

با توجه به سوابق مطالعات موجود، بیشتر کارهای انجام شده روی سرریز لبه‌تیز به صورت آزمایشگاهی و به تبع آن همراه با محدودیت‌های اقتصادی، زمانی و محاسبه پارامترهای مختلف بوده است. در این پژوهش، از نتایج آزمایشگاهی ارونقی<sup>۶</sup> و اسکوبی<sup>۷</sup> جهت مدل‌سازی عددی استفاده شده و عملکرد مدل عددی FLOW3D برای شبیه‌سازی جریان اطراف سرریز ارزیابی می‌شود. بدین منظور، با استفاده از مدل عددی FLOW3D، مشخصات هیدرولیکی جریان همچون ارتفاع، عدد فرود و رینولدز اطراف سرریز لبه‌تیز مستطیلی شبیه‌سازی شده و رابطه زاویه سرریز نسبت به قائم با کارایی سرریز و ضریب تخلیه آن بررسی شده و رابطه‌ای بدین منظور پیشنهاد گردیده است. همچنین تأثیرات زاویه بر آبشتیگی اطراف سرریز با توجه به فشار و سرعت جریان مطالعه شده است. لازم به ذکر است در این مورد، مطالعات چندانی انجام نشده است. از این‌رو، تحقیق حاضر، منجر به ایجاد دیدی مناسب درباره نحوه عملکرد هیدرولیکی سرریز لبه‌تیز می‌گردد.

<sup>3</sup>- Woronora

<sup>4</sup>- Avon

<sup>5</sup>- Lux

<sup>6</sup>- Arvanagh

<sup>7</sup>- Oskuei

اکثر جریان‌های موجود در طبیعت به صورت آشفته می‌باشند. در این نوع جریان‌ها، گردابهای کوچک بسیار زیادی وجود دارند. شکل کشیده یا عدم تقارن گرداب‌ها یکی از خصوصیات اصلی این جریان‌ها است که این امر با افزایش شدت آشفتگی افزایش می‌یابد.

آشفتگی جریان باعث می‌شود جریان‌هایی با مقادیر متفاوت اندازه حرکت با یکدیگر برخورد کنند. گرادیان‌های سرعت بر اثر ویسکوزیته سیال کاهش می‌یابند و این امر باعث کاهش انرژی جنبشی سیال می‌شود. برای بررسی جریان‌های آشفته روش‌های مختلفی وجود دارد.

شبیه‌سازی آشفتگی در FLOW3D با استفاده از یکی از پنج مدل آشفتگی متداول مورد استفاده توسط این نرم‌افزار صورت می‌گیرد. مدل‌های آشفتگی مورد استفاده توسط FLOW3D عبارت‌اند از: طول اختلاط پرانتل، یک معادله‌ای انرژی جنبشی آشفتگی، مدل دو معادله‌ای k-E، مدل گروههای نرمال شده (RNG) و مدل شبیه‌سازی گردابهای بزرگ. مدل‌سازی آشفتگی در FLOW-3D تا حدی از مدل‌سازی‌های قبلی متفاوت است؛ زیرا اثر کسرهای حجمی و سطحی روش FAVOR در معادلات مربوط به مدل‌های آشفتگی اعمال شده است و تولید یا تنزل آشفتگی به وسیله نیروهای شناوری تعمیم یافته‌اند.

معادله k-E شامل دو معادله انتقال، برای انرژی جنبشی آشفتگی و اتلاف آن است. معادله انتقال برای اتلاف آشفتگی،  $\varepsilon_T$ ، مطابق رابطه (۵) تعریف می‌شود:

$$\frac{\partial \varepsilon_T}{\partial t} + \frac{1}{V_f} \left( u A_x \frac{\partial \varepsilon_T}{\partial x} + v A_y \frac{\partial \varepsilon_T}{\partial y} + w A_z \frac{\partial \varepsilon_T}{\partial z} \right) = \frac{CDIS_1 \cdot \varepsilon_T}{K_T} (P_T + CDIS_3 \cdot G_T) + Diff_e - CDIS_2 \frac{\varepsilon_T^2}{K_T} \quad (5)$$

جهت حصول به نتایج دقیق‌تر و همچنین کاهش محاسبات، از دو گروه مشبندی استفاده شده است. در مقاطعی از کanal که اهمیت کمتری دارند، مشبندی درشت‌تر استفاده شده است. مش بلاک اول به فاصله هر ۲ سانتی‌متر در کل فلوم و مش بلاک دوم به فاصله هر ۵

اجزای سرعت در جهات (x, y, z) هستند. همچنین،  $A_x$  و  $A_z$  برابر کسرهای سطحی برای جریان در جهت‌های x, y و z می‌باشند.

معادله پیوستگی اصلاح شده به صورت معادله (۲) حاصل می‌شود:

$$\frac{V_f}{\rho c^2} \frac{\partial u A_x}{\partial t} + \frac{\partial u A_x}{\partial x} + R \frac{\partial v A_y}{\partial y} + \frac{\partial w A_z}{\partial z} + \zeta \frac{U A_x}{x} = \frac{R_{SOR}}{\rho} \quad (2)$$

عدد فرود نیز، نسبت نیروی اینرسی به نیروی جاذبه در حرکت یک سیال را نمایش می‌دهد که از رابطه (۳) بدست می‌آید:

$$Fr^2 = \frac{\rho v^2 / l}{\gamma} \quad (3)$$

که در آن، l طول جریان، v سرعت جریان، ρ چگالی سیال و γ عدد حاصل‌ضرب چگالی در شتاب گرانش است. ضریب دبی نیز در سرریزها به صورت معادله (۴) تعریف می‌شود [۱۳]:

$$C_d = \frac{q}{g^{0.5} \left( \frac{2}{3} H_I \right)^{1.5}} \quad (4)$$

که در آن،  $C_d$  ضریب دبی جریان، q دبی عبوری از روی سرریز در واحد عرض ( $m^3/s.m$ )، g شتاب ثقل ( $m/s^2$ ) و  $H_I$  ارتفاع تراز آب در بالادست بر حسب متر است.

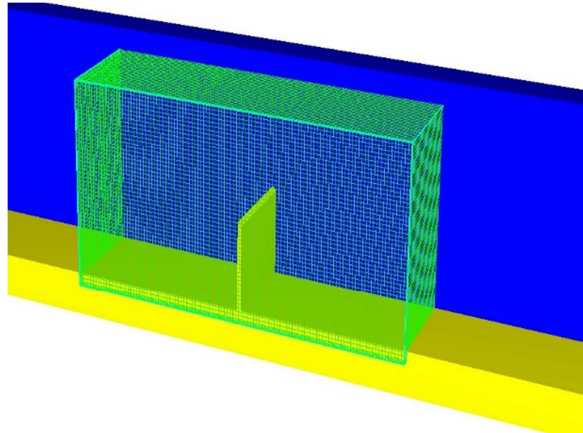
### ۳-۲-۳- مدل‌سازی آشفتگی

در رابطه (۵)،  $CDIS_1$ ،  $CDIS_2$  و  $CDIS_3$  پارامترهای بی‌بعدی هستند که مقدارشان برای مدل k-E به ترتیب دارای مقادیر پیش‌فرض  $1/44$ ،  $1/92$  و  $0/2$  می‌باشند.

### ۴-۲- مدل‌سازی شرایط مرزی

را نشان می‌دهد.

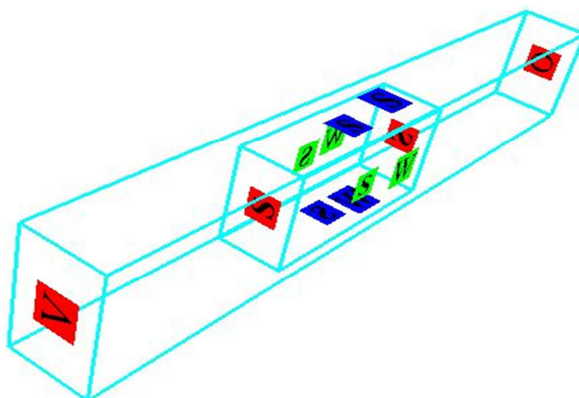
میلی‌متر در اطراف سرریز قرار گرفته است. شکل ۱ مشبندی در کل کanal و مشبندی ریزتر در اطراف سرریز



شکل ۱- مشبندی کل کanal و اطراف سرریز.

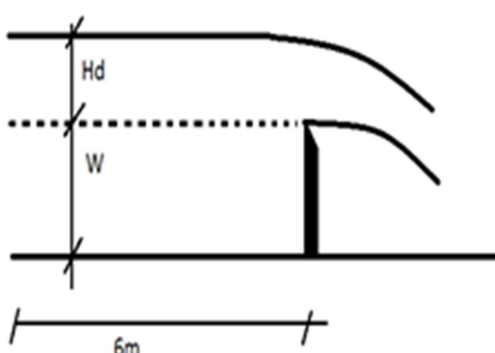
متقارن (S) و در کف شرط مرزی صلب (W)، تعریف گردیده است. این شرایط مرزی به صورت سه‌بعدی در شکل ۲ نشان داده شده است.

شرایط مرزی در ورودی کanal جریان با سرعت و عمق معلوم (V)، در کناره‌های مرز کanal، صلب (W)، در انتهای کanal به صورت ادامه‌دار (C)، در مرز بالا شرایط



شکل ۲- شرایط مرزی مورد استفاده.

۰/۵ متری قبل از سرریز نمایش داده شده است و با مقادیر آزمایشگاهی مقایسه شده‌اند.



شکل ۳- مشخصات فلوم آزمایشگاهی.

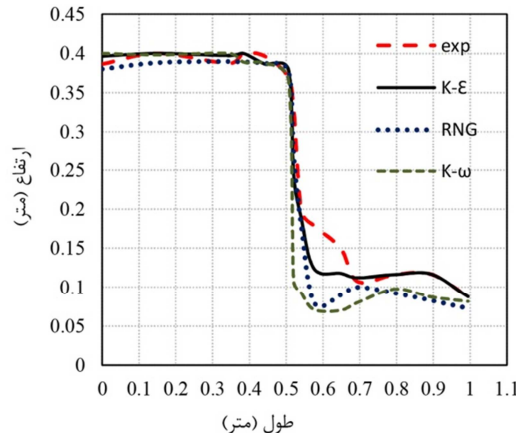
### ۳- نتایج و بحث

جهت بررسی توانایی مدل در روند شبیه‌سازی از نتایج آزمایشگاهی در فلوم از دیوار شیشه‌ای که طول فلوم، عرض و ارتفاع آن به ترتیب ۱۰، ۰/۲۵ و ۰/۵ متر می‌باشد استفاده شده است. در شکل ۳ سرریز مدل شده در کanal مشاهده می‌شود.

پس از مدل‌سازی و حل مدل در نرم‌افزار iFLOW3D داده‌های دریافتی با داده‌های موجود آزمایشگاهی مقایسه می‌شوند. در شکل ۴، ارتفاع سطح آزاد به دست آمده از مدل‌های مختلف آشتگی در فاصله

همچنین می‌توان گفت نرم‌افزار FLOW3D برای شبیه‌سازی جریان اطراف سرریز لبه تیز مناسب است و جواب‌های قابل قبولی ارائه می‌دهد.

براساس داده‌های جدول ۱، این نتیجه حاصل می‌شود که مدل K-ε بهترین جواب را با ضریب همبستگی ۰/۹۶ ارائه می‌دهد. بنابراین این مدل، بهترین مدل آشفتگی در بین سه مدل بررسی شده است.



شکل ۴- مقایسه سطح آزاد به دست آمده از مدل آشفتگی K-ε، K-ω و RNG با داده‌های آزمایشگاهی.

جدول ۱- دقت مدل آشفتگی جهت صحتسنجی پروفیل سطح آزاد آب.

RMSE	MAE	R <sup>2</sup>	مدل آشفتگی
۰/۳۸	۰/۷۶	۰/۹۶	RNG
۰/۷۶	۰/۴۶	۰/۸۳	Les
۰/۲۹	۰/۱۶	۰/۹۶	k-ε

سرریز با  $H/W$  معادله‌ای درجه دو می‌سازند. رابطه (۶) می‌تواند تخمین خوبی از ضریب تخلیه ارائه دهد:

$$C_d = 0.727 \left( \frac{H}{W} \right)^2 - 1.232 \left( \frac{H}{W} \right) + 1.184 \quad (6)$$

که در آن  $H$  ارتفاع آب روی سرریز و  $W$  ارتفاع سرریز می‌باشد. رابطه (۶) برای تمام نسبت‌های ارتفاعی جواب قابل قبولی می‌دهد و با در نظر نگرفتن  $H/W < 0/4$  به رابطه بسیار<sup>۱۱</sup> که همان رابطه (۴) می‌باشد، دست پیدا کرده است.

در شکل ۶ خطوط جریان در اطراف سرریز در حالت سرریز قائم نشان داده شده است. مشاهده می‌شود

در جداول ۲ و ۳، مقادیر ضریب آبگذری و دبی در حالات عددی (Num) و آزمایشگاهی (Exp) مقایسه شده‌اند. مشاهده می‌شود که اطلاعات به دست آمده از طریق نرم‌افزار نسبت به جواب‌های آزمایشگاهی از دقت قابل قبولی برخوردار می‌باشند. همچنین با توجه به اینکه مقدار عدد فرود کوچک‌تر از یک و مقدار رینولدز بزرگ‌تر از ۲۰۰۰ است، جریان زیربحراتی و آشفته است.

در ادامه، با توجه به نتایج نشان داده شده در شکل ۵ بخش‌های (الف) و (ب) می‌توان بیان داشت که با افزایش اعداد فرود و رینولدز، ضریب دبی کاهش می‌یابد و به سمت عدد ثابتی میل می‌کند. همچنین با مشاهده بخش (ج) در شکل ۵ می‌توان مشاهده کرد ضریب تخلیه

<sup>11</sup>- BOS

سرریز به یکدیگر نزدیک‌تر و فشرده‌تر شده‌اند.

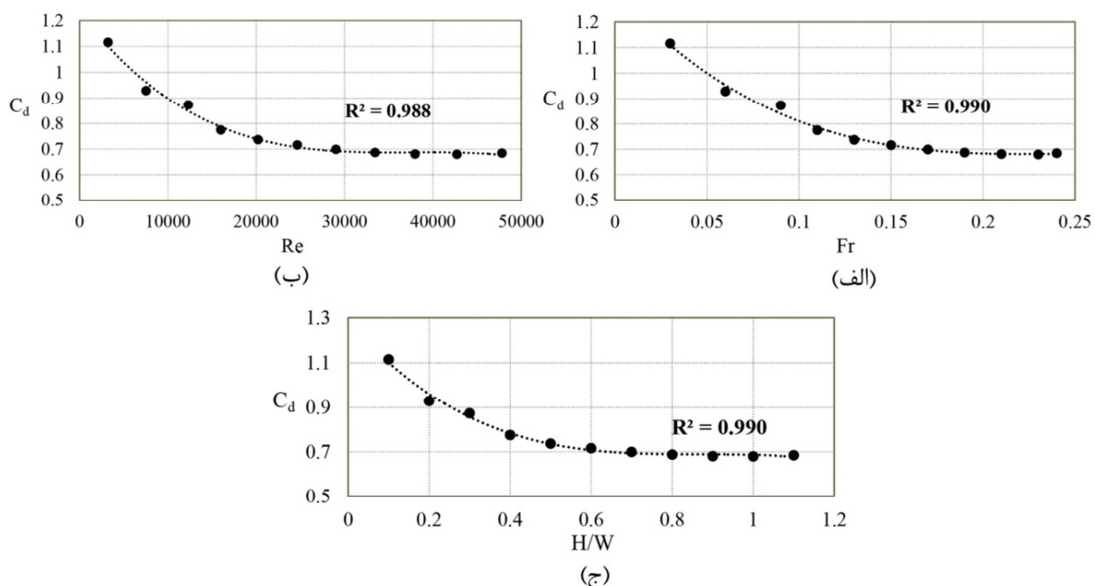
در بالادست سرریز، جریان به صورت خطوط موازی جاری است و با رسیدن به سرریز، این خطوط جهت عبور از

جدول ۲- مقایسه داده‌های آزمایشگاهی و عددی محاسبه شده با FLOW3D مربوط به دبی، ضریب تخلیه سرریز، فرود و رینولدز.

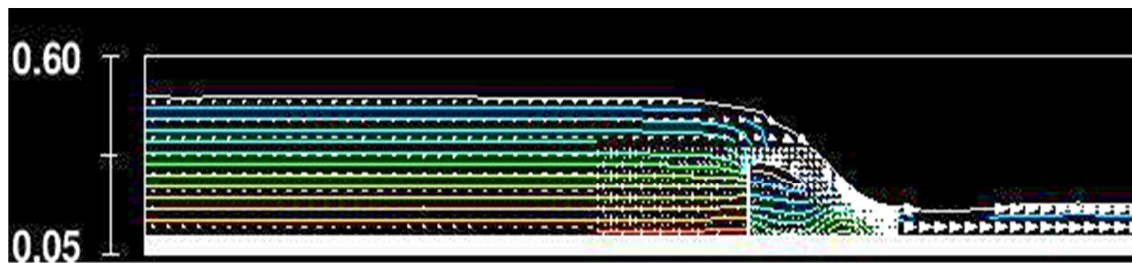
$C_d$	$q$ (lit/s/m)									
Num.	Exp.	Num.	Exp.	Fr	Re	V (m/s)	h (cm)	W (cm)	No	
۱/۱۱۶	۱/۶۲	۹/۳۲	۸/۸۷	۰/۲۷۲	۳۲۱۳/۷۶	۰/۴	۲	۲۰	۱	
۰/۹۲۹	۰/۹۳	۲۱/۹۵	۲۱/۹۸	۰/۵۹	۷۵۲۷/۴۱	۰/۹	۴	۲۰	۲	
۰/۸۷۳	۰/۸۷۴	۳۷/۹۲	۳۷/۹۱	۰/۹۴	۱۲۳۰.۸/۴۳	۰/۱۵	۶	۲۰	۳	
۰/۷۷۵	۰/۷۷۵	۵۱/۸۱	۵۱/۸۱	۰/۱۱۵	۱۵۹۹۰/۷۵	۰/۱۹	۸	۲۰	۴	
۰/۷۳۷	۰/۷۳۶	۶۸/۸۲	۶۸/۷	۰/۱۳۴	۲۰۲۰.۵/۷۸	۰/۲۳	۱۰	۲۰	۵	
۰/۷۱۶	۰/۷۱۵	۸۷/۸۹	۸۷/۸	۰/۱۵۲	۲۴۶۶۲/۹۳	۰/۲۷	۱۲	۲۰	۶	
۰/۷	۰/۶۹۸	۱۰۸/۱۲	۱۰۸	۰/۱۷۵	۲۹۰۳۲/۲۶۵	۰/۳۲	۱۴	۲۰	۷	
۰/۶۸۷	۰/۶۸۷	۱۲۹/۸۴	۱۲۹/۸	۰/۱۹۲	۳۳۴۵۳/۶۲	۰/۳۶	۱۶	۲۰	۸	
۰/۶۸۱	۰/۶۸۱	۱۵۳/۵۲	۱۵۳/۵	۰/۲۰۷	۳۷۹۹۵/۴	۰/۴	۱۸	۲۰	۹	
۰/۶۸	۰/۶۷۹	۱۷۹/۴۵	۱۷۹/۴۵	۰/۲۲۷	۴۲۷۲۶/۲	۰/۴۵	۲۰	۲۰	۱۰	
۰/۶۸	۰/۶۸۴	۲۰۸/۵۲	۲۰۸/۵۱	۰/۲۴۶	۴۷۸۲۳/۳۸	۰/۵	۲۲	۲۰	۱۱	

جدول ۳- دقت ضریب تخلیه و دبی آبگذری سرریز.

RMSE	MAE	$R^2$	
۰/۱۶۲	۰/۲۶	۰/۹۹۳	$C_d$
۰/۱۷	۰/۲۹۱	۰/۹۹۹	$q$



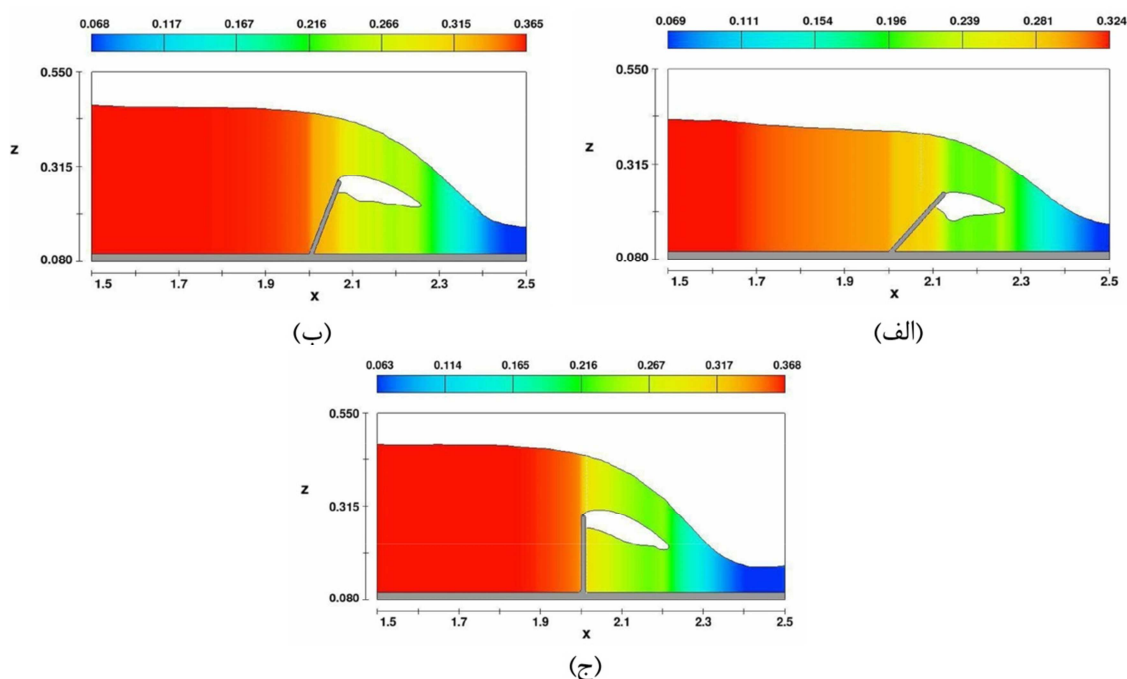
شکل ۵- نمودار مقادیر عددی ضریب تخلیه سرریز. (الف) نسبت به عدد فرود، (ب) نسبت به رینولدز و (ج) نسبت به ارتفاع آب روی سرریز تقسیم بر ارتفاع سرریز



شکل ۶- خطوط جریان اطراف سرریز.

شده است. همان‌طور که مشاهده می‌شود با کاهش زاویه، ارتفاع آب پشت سرریز، بر طبق انتظار، کاهش یافته است.

همچنین در شکل ۷، پروفیل سطح آب برای زوایای مختلف قرارگیری سرریز نسبت به کف کanal، مورد بررسی قرار گرفته است و حالت مایل و قائم شبیه‌سازی و مدل



شکل ۷- پروفیل سطح آب در سه حالت قرارگیری سرریز. (الف) ۵۰ درجه، (ب) ۷۰ درجه و (ج) ۹۰ درجه.

قائم سرریز مایل) و همچنین ایجاد حالتی با شبیه‌سازی دست برای سرریز می‌باشد که این حالت بر خطوط جریان عبوری از سرریز انطباق بیشتری داردند که منجر به افزایش آبگنگی می‌شود.

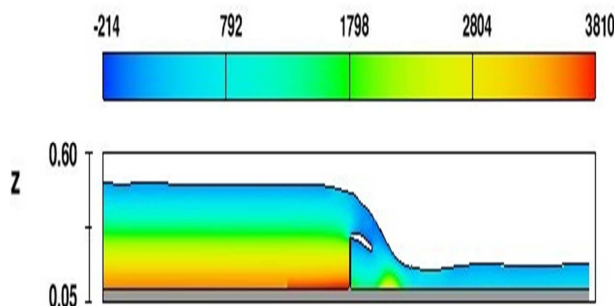
براساس جدول ۴ می‌توان بیان کرد با تغییر جهت سرریز، دبی و ضریب دبی تغییر می‌کند و هرچه سرریز به سمت بیرون شبیه داشته باشد، دبی و ضریب دبی افزایش پیدا خواهد کرد. علت آن، کاهش ارتفاع سرریز (تصویر

جدول ۴- داده‌های عددی مربوط به ضریب تخلیه سرریز در سه حالت قرارگیری سرریز.

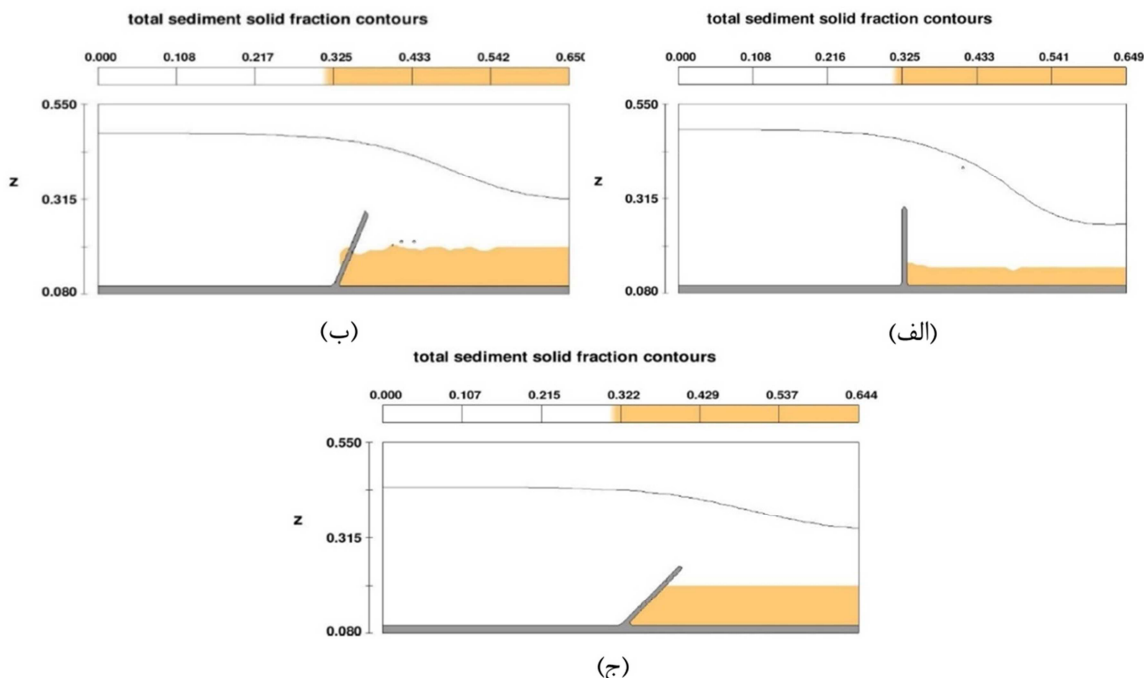
$C_d$	$q$ (lit/s/m)	نوع
۰/۶۸	۱۷۹/۴۵	سرریز قائم
۰/۷۱۴	۱۸۸/۶۶	سرریز با زاویه ۷۰ درجه نسبت به افق
۰/۷۴۷	۱۹۷/۲۲	سرریز با زاویه ۵۰ درجه نسبت به افق

باعث آبشنستگی می‌شود. با توجه به شکل ۹، با کاهش زاویه سرریز، آبشنستگی در اطراف سرریز کاهش می‌یابد؛ زیرا سرعت و فشار منفی موجود اطراف سرریز کاهش پیدا می‌کند.

در ادامه، تغییرات فشار در اطراف سرریز در شکل ۸ نشان داده شده است. براساس شکل ۸، فشار در پشت سرریز دارای مقداری مثبت و بیشترین فشار  $\frac{3}{8}$  کیلوپاسکال است که بهدلیل ارتفاع زیاد آب در آن مقطع می‌باشد. در پایین دست سرریز نیز، فشار منفی است که



شکل ۸- تغییرات فشار در اطراف سرریز.



شکل ۹- آبشنستگی اطراف (الف) سرریز ۹۰ درجه، (ب) سرریز ۷۰ درجه و (ج) سرریز ۵۰ درجه.

فشار و آبشنستگی اطراف سرریز به خصوص در پایین دست کاهش پیدا می‌کند.

۲- تقریباً با کاهش ۴۵ درصدی زاویه از ۹۰ درجه به ۵۰ درجه، ضریب آبدھی حدود ۱۰ درصد افزایش یافته است.

۳- سرریز با زاویه ۵۰ درجه بیشترین مقدار آبغذری با ضریب آbgذری  $0.747$  را دارد.

#### ۴- نتیجه‌گیری

در این پژوهش، مشخصات هیدرولیکی جریان در اطراف سرریز لبه‌تیز مستطیلی قائم و مورب با استفاده از نرم افزار FLOW3D شبیه‌سازی و تحلیل گردید. اهم نتایج به دست آمده به شرح زیر است:

- ۱- با افزایش شبیه سرریز در جهت جریان، دبی و ضریب آبدھی سرریز افزایش می‌یابد. همچنین

- ۶- نرم‌افزار FLOW3D قابلیت خوبی در شبیه‌سازی سرریز لبه‌تیز دارد و جواب‌های قابل قبولی ارائه می‌دهد.
- ۷- با توجه به نتایج به دست آمده عددی و مقایسه با نتایج آزمایشگاهی، مدل آشفتگی  $k-\epsilon$  بهترین مدل برای این شبیه‌سازی معرفی گردید.
- ۴- مقدار ضریب آبدهی با توجه به افزایش عدد فرود و رینولدز به تدریج کاهش پیدا کرده و به عددی ثابت نزدیک می‌شود.
- ۵- رابطه برای ضریب آبدهی پیشنهاد گردید که نتایج آن برای نسبت‌های  $H/W < 0.4$  با رابطه  $H/W = 0.4$  باس یکسان است.

## مراجع

- [1] Eghbalzadeh, A. (2016). "Numerical study of the effect of upstream Froude number on the flow characteristics along a rectangular sharp-crested side weir", *Modares Civil Engineering journal*, 16(2), 215-228.
- [2] Heidarpoor, M., Razavian, S. H., & Hosseini, Y. (2014). "Study of Simultaneous Flow over Sharp-Crested Trapezoidal Weir and Below Sluice Gate", *JWSS-Isfahan University of Technology*, 18(68), 147-156.
- [3] Haghshenas, V., & Vatankhah, A. (2015). "Discharge coefficient equation for semi-circular sharp-crested side weir in subcritical flow regime", *Shahrekhord University Electronic Journals- IWRJ*, 9(4), 131-138.
- [4] Ameri, M. (2015). "Determination of discharge coefficient of compound triangular–rectangular sharp-crested side weirs", *Journal of Water and Soil Conservation*, 22(3), 105-120.
- [5] Mangarulkar, K. (2010). Experimental and numerical study of the characteristics of side weir flows. PhD thesis, Concordia University, Montreal, Quebec, Canada.
- [6] Rezaiy, M., & Aghajani Mazandarani, Gh. (2015). "Laboratory study overflow rectangular Congress", *Journal of Water and Soil Science*, 29(9), 1438-1446 (in Persian).
- [7] Darvas, L.A. (1971). "Performance and design of labyrinth weirs", *J. Hydraul. Eng. ASCE*, 97(80), 1246-1251.
- [8] Lux, F. (1993). "Design methodologies for labyrinth weirs", In *International conference on Hydropower, Water Power Nashville, Tennessee, USA*, 1379-1407.
- [9] Esmayili varaki, M., & Safarrazavizadeh, M. (2013). "Study on hydraulic characteristics of flow over spillways Congress with semicircular plan", *Journal of Water and Soil Science*, 27(1), 224-234 (in Persian).
- [10] Keshavarz, Z., Rahimpour, M., & Ahmadi, M.M. (2011). "Study of hydraulic characteristics of trapezoidal sharp crested side weirs", In *6 th National Congress on Civil Engineering, Semnan University, Semnan*. (In Persian).
- [11] Akbari, R., & Ghodsian, M. (2011). "Determination of discharge coefficient in triangular side weirs", In *10th Iranian Hydraulic Conference, Gilan University, Rasht*. (In Persian).
- [12] Arvanaghi, H., & Oskuei, N.N. (2013). "Sharp-crested weir discharge coefficient", *Journal of Civil Engineering and Urbanism*, 3(3), 87-91.
- [13] Boss, M. G. (1988). Discharge Measurement Structures. ILRI Pub. Wageningen, Netherlands.

**S. Farzin\***

Assistant Professor,  
Department of Civil  
Engineering, Semnan  
University.

**e-mail:** saeed.farzin@semnan.ac.ir

**H. Karami**

Assistant Professor,  
Department of Civil  
Engineering, Semnan  
University.

**e-mail:** Hkarami@semnan.ac.ir

**F. Yahyavi**

M.Sc. Student, Department of  
Civil Engineering, Semnan  
University.

**e-mail:** Farzady70@gmail.com

**Sh. Nayyer**

M.Sc. Student, Department of  
Civil Engineering, Semnan  
University.

**e-mail:** sh.nayyer@semnan.ac.ir

## Numerical Study of Hydraulic Characteristics Around the Vertical and Diagonal Sharp-Crested Weirs Using FLOW3D Simulation

Weir is important structure in the river and is the most common means of flow measurement in open channels. One type of this structure is sharp crested weir which is categorized based on the shape of crest to triangular, rectangular, circular, trapezoidal and parabolic. In this study, numerical simulation is used to predict overflow around sharp crested weir and attributes like height, Froude number and Reynolds number in the overflow with three different slope angles of 50, 70 and 90 degrees from horizontal and discharge coefficient of rectangular overflow has been investigated. An equation between discharge and inflow coefficient  $k-\epsilon$  is proposed, and the best turbulence model due to better simulation is adopted among three turbulence models with correlation coefficient of 0.96. The results indicated that when Froude number is less than 1 and Reynolds number is more than 2000 and weirs have a 50-degree slope, inflow will have its maximum volume with inflow coefficient of 0.747. Also, the effect of slope on scouring around the weirs with respect to the pressure and velocity of inflow is studied.

**Keywords:** Sharp crested weirs, Hydraulic characteristics, Numerical simulation,  $k-\epsilon$  turbulence model, FLOW3D modeling.

---

\* Corresponding author